

II-31 大容量貯水池の下流域における河床低下の研究

岐阜大学工学部 正員 河村三郎

K.K. 水野組 加藤皓久

中部電力 K.K. 瀬尾二郎

緒言 大容量貯水池が流域に築造されたとダムの下流は流砂が遮断されたために低下する。河床が完全に低下した時の平衡状態は河川の静的平衡の状態になると考えられる。ダム下流の河床低下に関する最も重要な特徴はダム下流部の粒度分布が大きく変化することである。例へば、ダム築造前の d_{50} がダム築造後は築造前の粒度分布における d_{50} から d_{70} の粒度となることである。この様な現象は米国のHoover Damの下流部で実測されて²⁾いる。しかししながら、この実測はダム付近に限られており、より粒度分布の変化はダム地盤から下流に行くにつれて減少していくことが推定される。この粒度変化を生ずる大きな原因是ダム築造により土砂が供給されないため、細い粒子の砂は洪水時の放流水により、流出してしまうのであり、このため年を経るとともに大きな粒径のみが残ることとなる。そして、この現象が順次下流へ伝わって行くと考えられる。近年、大容量貯水池の築造による河床低下の被害が各国で大きな問題となり、この研究の必要性が大きめ強調されて³⁾いる。しかしながら、これまでに行なわれた研究はほとんど問題点を提起し、その研究の方向を示唆していくすぎなかつ^{2), 3)}。河床低下量があらかじめ確定できることは河川の改修計画、設計、施工等に大きな自信を与えることになり、また将来の河川維持対策も立てやすくなることである。

1. 河床低下量の推定方法 前述の河川横断方向における粒径変化の範囲とその粒度分布が確定できれば、静的平衡勾配の理論⁴⁾により河床高が計算されようから、ダム築造前の河床高とダム築造後の粒径変化についての理論を用いて計算して河床高の差が河床低下量と考えられる。静的平衡勾配の理論⁴⁾の研究に必要な部分の概要はつぎのとくである。

(1) 分割法による河床高と平衡勾配の計算式

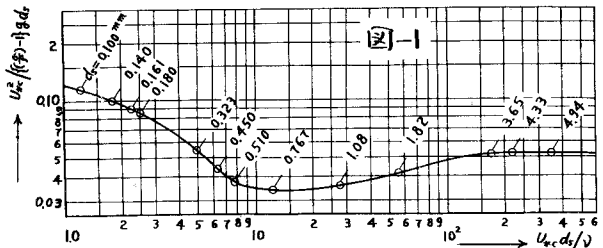
(1) 河床高の計算式 この方法は河道を微少正角に分割してその区間の河床高の差から河床高を求める方法である。計算しようとする区域を n 個の正角に分割して場合、この分割における一つの Δx_η 区间における河床高の差 Δz_η はつぎのとく表示しよう。

$$\Delta z_\eta = -I_0 \left(\frac{a_c}{a_{c0}} \right)^M \left(\frac{B}{B_0} \right)^r \left(\frac{d_s}{d_{s0}} \right)^l \Delta x_\eta + h_0 \left(\frac{a_c}{a_{c0}} \right)^{-\varphi} \left(\frac{B}{B_0} \right)^{-r} \left(\frac{d_s}{d_{s0}} \right)^{-l} \left[\varphi \left(\frac{a_{c0}}{a_c} \right) \left(\frac{\Delta a_c}{a_{c0}} \right) + r \left(\frac{B_0}{B} \right) \left(\frac{\Delta B}{B_0} \right) + l \left(\frac{d_{s0}}{d_s} \right) \left(\frac{\Delta d_s}{d_{s0}} \right) \right] - \frac{h_0^3}{R_0^2} \left(\frac{a_c}{a_{c0}} \right)^{2\varphi} \left(\frac{B}{B_0} \right)^{2r} \left(\frac{d_s}{d_{s0}} \right)^{2l} \left[\varphi \left(\frac{a_{c0}}{a_c} \right) \left(\frac{\Delta a_c}{a_{c0}} \right) + (r-1) \left(\frac{B_0}{B} \right) \left(\frac{\Delta B}{B_0} \right) + l \left(\frac{d_{s0}}{d_s} \right) \left(\frac{\Delta d_s}{d_{s0}} \right) \right] \quad (1)$$

つぎのとくあらかじめ河床高 Z_η は、 $Z_\eta = Z_0 + \sum_{j=0}^{n-1} \Delta z_\eta \quad (j=0, 1, 2, 3, \dots, n; \Delta z_0 = 0)$ (2)

$= k$, I_0 : 基準点における水面勾配、添字0は基準点を示すことを。 B : 河川幅、 d_s : 河床土砂の平均粒径、 h : 水深、 x : 流れ方向に対する距離、 Z : 河床高、 M, r, l, φ の値は近似的に $r = 6/7$, $l = 9/7$, $\lambda = 2/7$, $M = 10/7$, $\varphi = 3/7$ である。 $h_0^3 = Q^2 / g B_m^2$ で与えられ、 Q : 流量、 a_c の値は図-1より決定される。限界摩擦力を用いた整理公式⁵⁾は一般につぎのとく示される。 $a_c = (4g^2 / f(a/P) - 1) g d_s \quad (3)$ ゆえに図-1より $4g^2 / f(a/P) - 1$ の値

を求めればその値が a_0 の値である。 ds が $ds \geq 3 \text{ mm}$ であれば図-1 からわかるように $\frac{ds}{a_{10}}m \approx 1$ であり $(\frac{\Delta a}{a_{10}}) \approx 0$ である。(1) 式より、 Δa は Δx_y にかけ算平均値を示し、 Δa_s 、 Δds 、 ΔB は Δx_y に対して両端の断面における a_0 の差である。 $ds \leq 3$



二十一

mm 7" 18, $x > 0$ かつ $\kappa < \kappa_1$ のとき B が減少する場合 κ は $\Delta\alpha < 0$, 増加する場合 κ は $\Delta\alpha > 0$ 7" 19, Δds は $x > 0$ かつ $\kappa < \kappa_1$ のとき ds が減少する場合 κ は $\Delta ds < 0$, 增加する場合 κ は $\Delta ds > 0$ 7" 20, ΔB は, $x > 0$ かつ $\kappa < \kappa_1$ のとき B が減少する場合 κ は $\Delta B < 0$, 增加する場合 κ は $\Delta B > 0$ 7" 21.

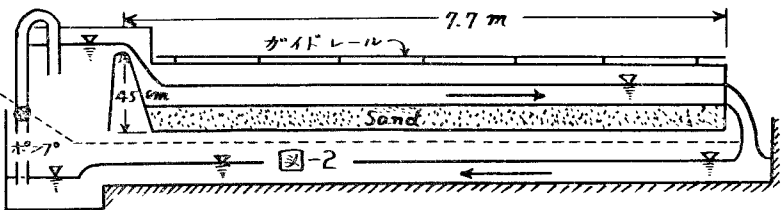
(6) 平衡勾配の計算式 各地盤の平衡勾配は(1)式から導かれた Δz_g と分割(矢圧角) Δx_g の値を使用して次式により求められる。 $i_g = -\Delta z_g / \Delta x_g$ ----- (4)

(ii) 基準点における水面勾配工の決定方法 基準点となる場所は、基準点付近の河川力がほぼ一様であり、河床滑らかで、算流状態が存在する場合である。 I_0 は次式より計算すればよい。 $I_0 = (h_{10}/h_0)^3 [6.0 + 5.75 \log_{10} (h_0/d_{50})]^{-2}$ (5)

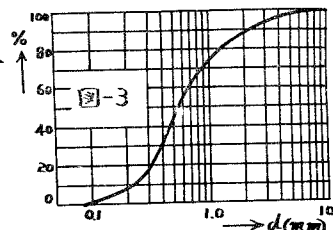
2. 実験装置および実験方法

2. 実験装置および実験方法 実験水路は図-2に示すよう右 $0.4 \times 0.5 \times 2.7 \text{ m}$ のものであり、この水路の中央に図-3の二種類底面勾配をもつ砂を約 20 cm の深さに注入し、河床勾配を $1\%_{\text{m}}$ 、水平等所定の勾配をもつてのち一定流量を通水し、通水初期の各地点の水深、水面勾配、河床高とボルトゲージで測定し、静的平衡の状態になるまで通水して実験を行なつて。静的平衡の状態になつて時。

水深、水面勾配、河床高さ
測定 17 断水 1 m。断水 1
m の 3、模型床表面から深
さ 1 cm、中程 20 cm あたり
表面の砂を各地点 (0.5, 1.0,



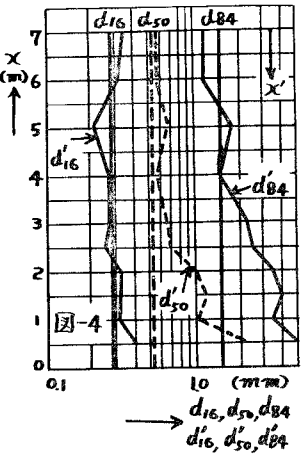
1

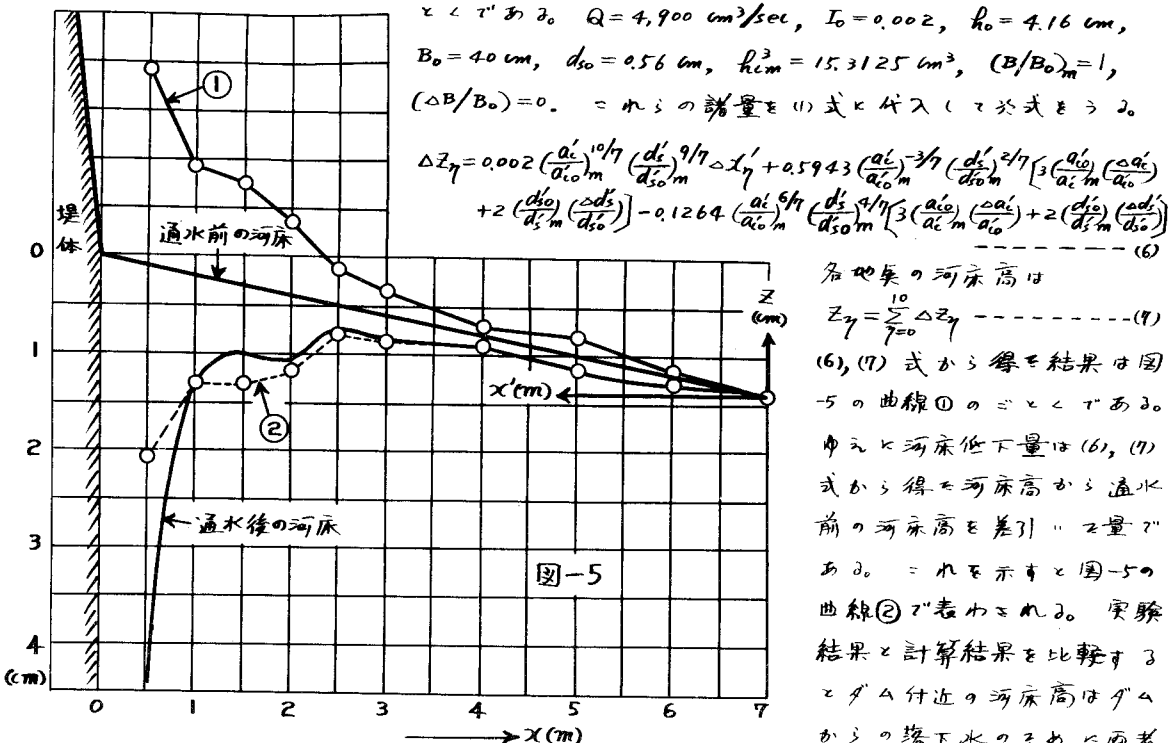


(a) 実験結果 実験結果の1例と(2)

通水前の河床勾配 $1/500$, 通水時間 4 時間 30 分, 流量 $4,900 \text{ cm}^3/\text{sec}$ の場合を示す。 d_{10} , d_{50} , d_{90} と距離 X との関係を示すと程度変化は図-4 の " \times < \square " である。またそのときの河床高と距離との関係は図-5 の " \times < \square " である。

(6) 静的平衡勾配の理論による計算結果と実験結果の比較 d_{15}, d_{50}, d_{90}
 下流域の位置を原点として上流へ x' 軸をとり計算する。計算に必要な諸量はつきのとおり





は一致。ダムがダムから 2.5 m より下流は比較的よく一致しており実際河川における方法が適用できる事を示す。ダム下流 2.0 m までの両者の不一致は通水直後である時のダム直下の砂がその後下流 1~2 m の範囲に移動し、堆積して生じるものと思われる。
ゆえに実験の際に、除々と少ない流量から所定の流量まで増加させて行けばこの不一致は比較的小なり、ダム直下付近は限度であると推察される。

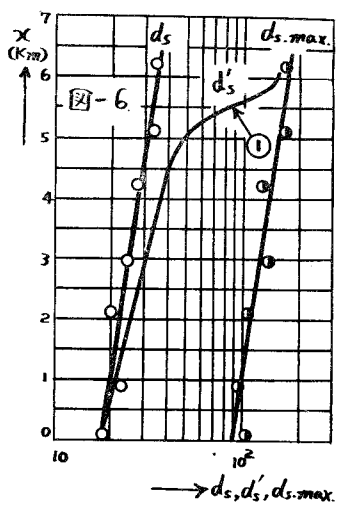
4. 実際河川における計算例 計算例と 1) 牧田川(揖斐川支流)

の No. 142 の地盤にダムが築造されたと仮定して河床低下量を計算してみよう。ダム築造前の d_s , $d_{s,max}$ と距離 X との関係は図-6 のとくである。No. 142 ($X = 5.926 \text{ Km}$) の地盤にダムが築造された場合、河床が静的平衡の状態にたつたときの粒度変化を図-6 の d'_s の曲線①のようになると仮定する。

(a) ダム築造前の静的平衡河床高 計算に必要な諸量は文献 6)

より, $Q = 1200 \text{ m}^3/\text{sec}$, $h_0 = 2.76 \text{ m}$, $B_0 = 137 \text{ m}$, $Z_0 = 4.22 \text{ m}$,
 $(\gamma/\rho) = 2.585$, $d_{s0} = 0.018 \text{ m}$, $d_{s5.0} = 0.02 \text{ m}$, I_0 は基準卓付近数
表に基づく, (5) 式を用いて $I_0 = 0.0015$ を得る。 $d_s > 3 \text{ mm}$ の
範囲から $(a'_c/a_{co})_m = 1$, $(\Delta a'_c/a_{co}) = 0$ である。これらの諸量を (1),
(2) 式に代入(図-6) d'_s を計算して得た結果を図-7 の曲線
①と示す。

(b) ダム築造後の静的平衡河床高 ダム築造後の河床高は図-6 の d'_s を計算する。河床



$$\Delta Z_{aq} = 0.0015 \left(\frac{B}{B_0 m} \right)^{6/7} \left(\frac{ds'}{ds_0 m} \right)^{4/7} \Delta x_q + 0.3943 \left(\frac{B}{B_0 m} \right)^{-6/7} \left(\frac{ds'}{ds_0 m} \right)^{-2/7} \left[6 \left(\frac{B_0}{B} m \right) \left(\frac{\Delta B}{B_0} \right) + 2 \left(\frac{ds'}{ds_0 m} \right) \left(\frac{\Delta ds'}{ds_0} \right) \right] + 0.01895 h^3 \left(\frac{B}{B_0 m} \right)^{12/7} \left(\frac{ds'}{ds_0 m} \right)^{4/7} \left[\left(\frac{B_0}{B} m \right) \left(\frac{\Delta B}{B_0} \right) - 2 \left(\frac{ds'}{ds_0 m} \right) \left(\frac{\Delta ds'}{ds_0} \right) \right] \quad (8)$$

この計算結果を示すと図一の曲線②のようになる。

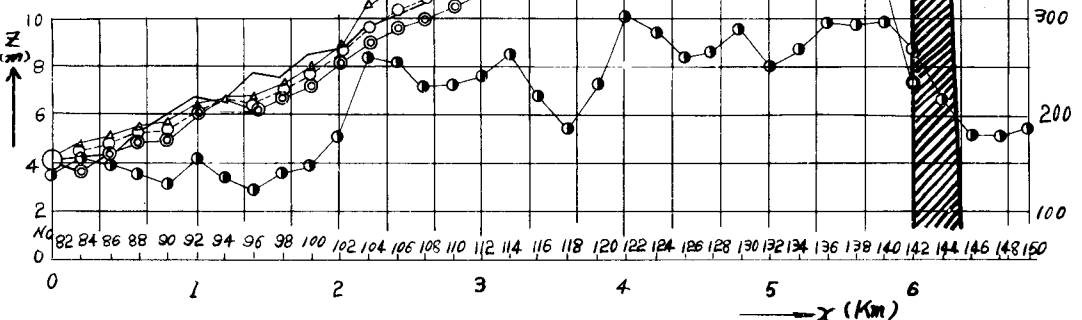
(C) 河床低下量の計算

• 靜的平衡荷重高 ΣZ_{by} 對 ΣZ_{ay} 荷重變動量 δZ_{by} 及 $\delta Z_{ay} = Z_{by} - Z_{ay}$

Z_{ay} : ダム築造後の静的平衡河床高, Z_{by} : ダム築造前の静的平衡河床高。ダム築造後の河床高 Z_y は次式で計算される。

$$Z_g = Z_{bg} + \delta Z_{bg} \quad \dots \quad (II)$$

$Z_p \times x^2$ の関係を示すと図-7の曲線③の $x < n$ なる。またダム築造前の実測河床高 Z_{pp} に対する変動量 δZ_{pp} は、



$\delta Z_{pp} = 2Z_{by} - (Z_{ay} + Z_{pp})$ ---- (12) 図-6の d_s' の曲線が合理的に決定されれば静的平衡勾配の理論を適用してダム築造後の河床低下量を推定できることを示す。今後はこの d_s' の分布形を研究するのが大きな研究課題であり、河川の縱断方向における粒径変化とその分布を合理的に推定する方法を実験的に研究するため今年度は 2.5 m の実験水路と 15 m 程度に延長して数種類の砂とて研究する予定である。

參 考 文 獻

- ① Einstein, H.A.; *Needs in Sedimentation*, Proc. ASCE, Vol. 87, No. HY2, March, 1961.
 - ② Gamal Mostafa, M.; *River Bed Degradation Below Large Capacity Reservoirs*, Proc. ASCE, Vol. 81, Sept., 1955.
 - ③ 佐藤清一; 河床変動量の予測, 土木技術資料 (1-2).
 - ④ 増田重臣, 河村三郎; 河川の静的平衡勾配と“?, 土木学会論文集 70号, pp. 19-25.
 - ⑤ 岩垣雄一; 限界帶流力に関する基礎的研究, 土木学会論文集 41号, 1956.
 - ⑥ 増田重臣, 河村三郎; 砂石河川における平衡勾配と“?, 土木学会論文集 70号, pp. 8-16.